

ANEXO DIGITAL / DIGITAL APPENDIX

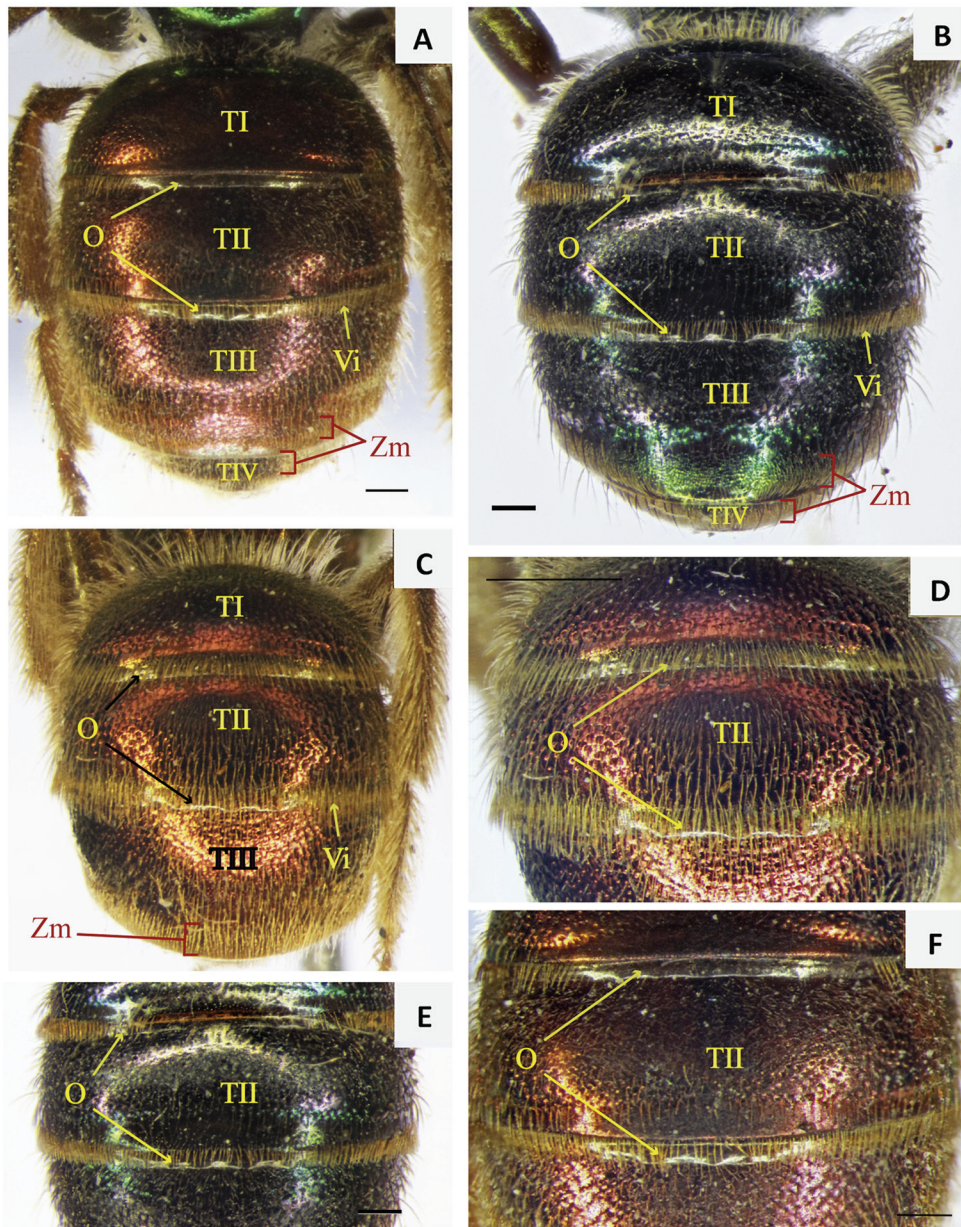


Fig. 3. Metasoma en vista dorsal, A y F, *A. ignita*, B y E, *A. rotalis*, C y D, *A. flammea*. A-F: Escala 400 μ m. **TI**- Tergo metasomal I, **TII**-Tergo metasomal II, **TIII**-Tergo metasomal III, **TIV**-Tergo metasomal IV, **O**-Orla, **Vi**-Vibrissas y **Zm**-Zona marginal de TIII y TIV.

Fig. 3. Metasoma in dorsal view, A and F, *A. ignita*, B and E, *A. rotalis*, C and D, *A. flammea*. A-F: Scale 400 μ m. **TI**-Metasomal tergum I, **TII**-Metasomal tergum II, **TIII**-Metasomal tergum III, **TIV**-Metasomal tergum IV, **O**-Fringe, **Vi**-Vibrissae and **Zm**-Marginal zone TIII and TIV.



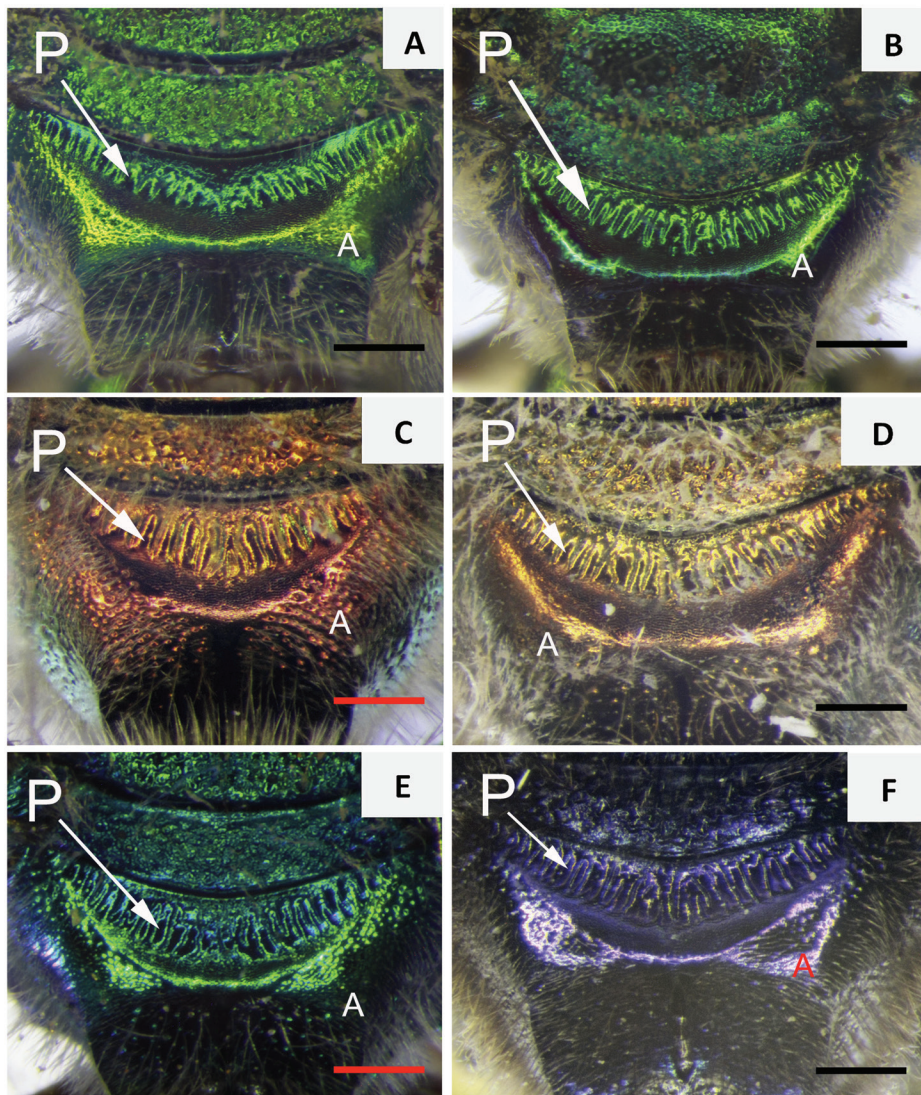


Fig. 4. Lúnula en vista dorsal, A, *A. ignita*, B, *A. rotalis*, C, *A. flammea*, D, *Augochloropsis* sp., E, *A. wallacei*, F, *Augochloropsis* sp. A-B: Escala 200 µm. P-Plica y A- Ángulo lateral del propodeo.

Fig. 4. Lunula in dorsal view, A, *A. ignita*, B, *A. rotalis*, C, *A. flammea*, D, *Augochloropsis* sp., E, *A. wallacei*, F, *Augochloropsis* sp. 6-7: Scale 200 µm. P-Plicae and A- Lateral angle of propodeum.

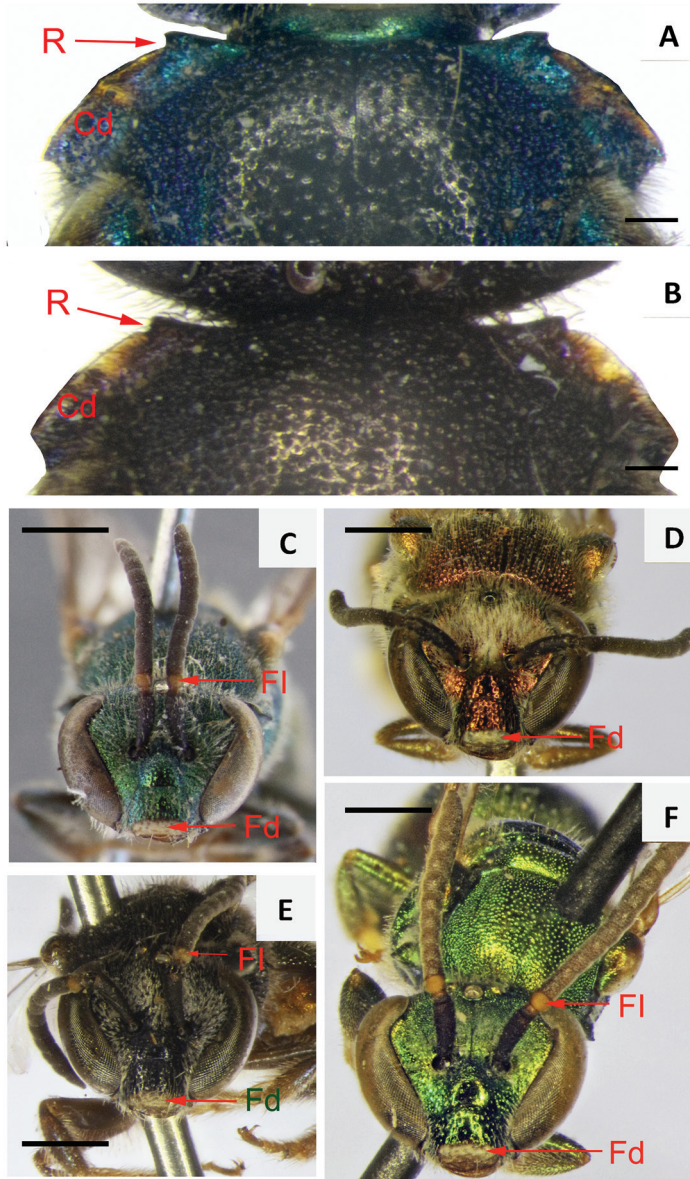


Fig. 5. A-B: Mesosoma en vista dorsal, A, *A. rotalis*; B, *A. auriventris*. C-F: Cabeza macho en vista frontal, C, *A. ignita*, D, *A. flammea*, E, *A. auriventris*, F, *A. callichroa*. A-B: Escala 200 μ m. C-F: Escala 1 mm. **R**-Recorte del ángulo lateral del pronoto, **Cd**-Cresta dorsal del pronoto, **Fd**-Franja distal del clípeo y **Fl**-Flagelómero I.

Fig. 5. A-B: Mesosoma in dorsal view, A, *A. rotalis*; B, *A. auriventris*. C-F: Head of male in frontal view, C, *A. ignita*, D, *A. flammea*, E, *A. auriventris*, F, *A. callichroa*. A-B: Scale 200 μ m. C-F: Scale 1 mm. **R**-Clipping of lateral angle of pronotum, **Cd**-Dorsal ridge of pronotum, **Fd**-Distal fringe of clypeus and **Fl**-Flagellomere I.

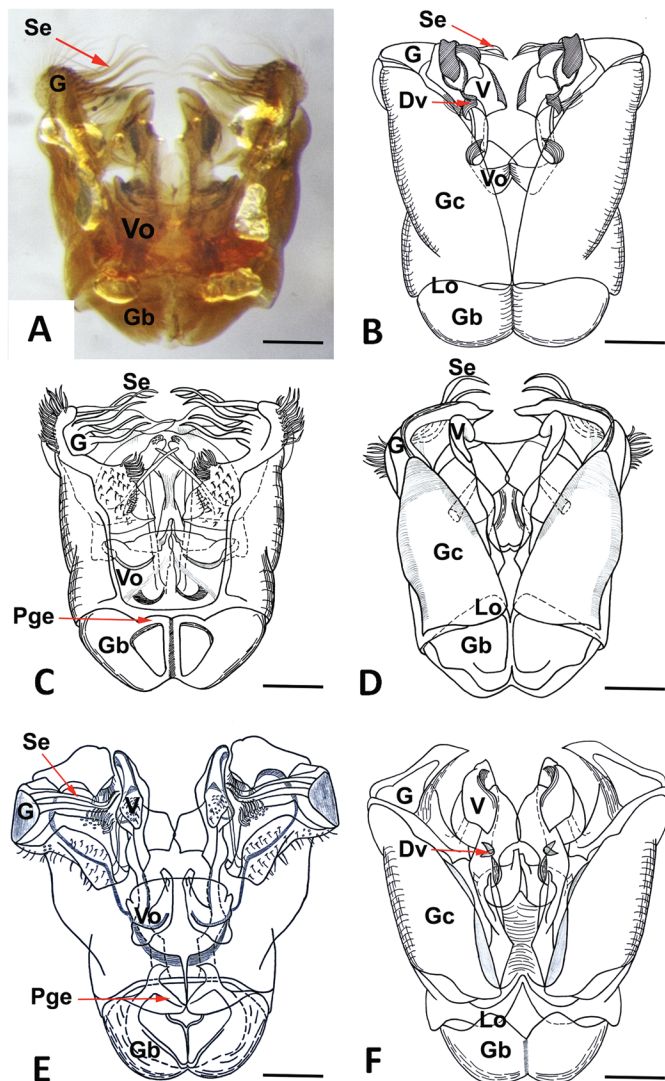


Fig. 6. Cápsula genital del macho, A, *A. auriventris*, vista ventral, B, *A. ignita*, vista dorsal; C-D: *A. rotalis*, C, vista ventral, D, vista dorsal; E-F: *A. wallacei*, E, vista ventral, F, vista dorsal. A-F: Escala 200 μ m. **G**-Gonostilo, **Vo**-Volsella, **Gc**-Gonocoxito, **Se**-Setas, **Dv**-Diente valvar, **V**-Valva del pene, **Gb**-Gonobase, **Pge**-Puente Gonobasal Esclerotizado y **Lo**-Lóbulo.

Fig. 6. Genital capsule of males, A, *A. auriventris*, vista ventral, B, *A. ignita*, dorsal view; C-D: *A. rotalis*, C, ventral view, D, dorsal view; E-F: *A. wallacei*, E, ventral view, F, dorsal view. A-F: Scale 200 μ m. **G**-Gonostylus, **Vo**-Volsella, **Gc**-Gonocoxite, **Se**-Setae, **Dv**-Valvar tooth, **V**-penis valve, **Gb**-Gonobase, **Pge**- Sclerotized gonobasal bridge and **Lo**-Lobe.

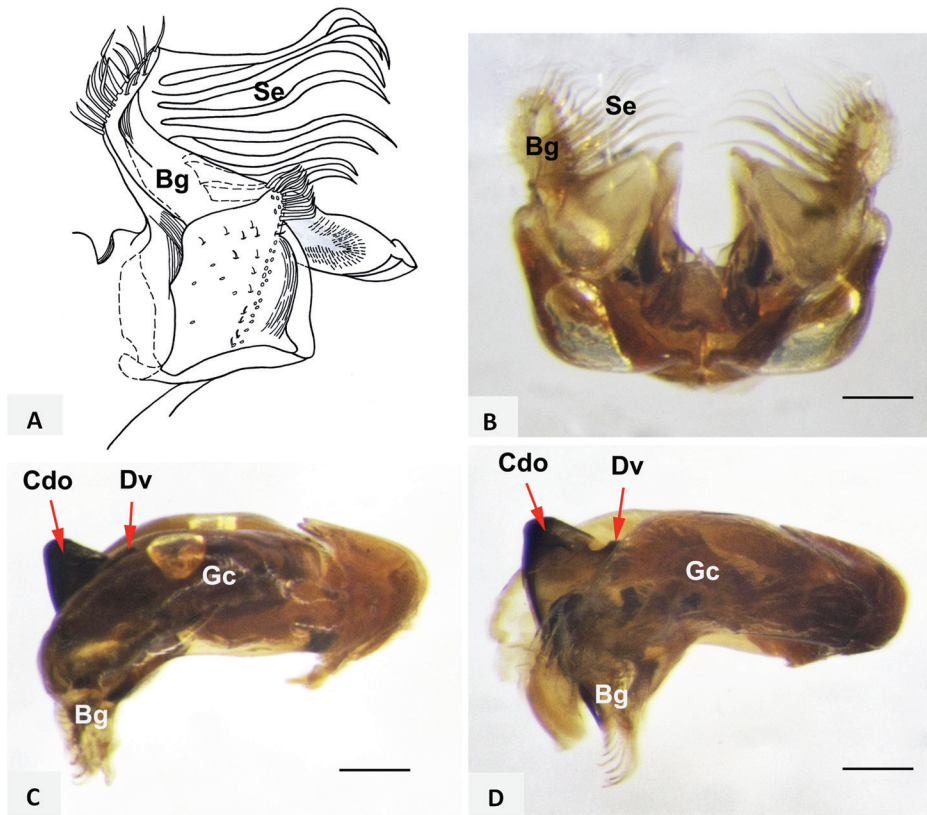


Fig. 7. A-B: Detalle gonostilo en vista apical, A, *A. wallacei*, B, *A. auriventris*. C y D: Cápsula genital del macho en vista lateral, C, *A. diversipennis*, D, *A. wallacei*. B-D: Escala 200 μ m. **Bg**-Brazo gonostilar, **Se**-Setas, **Cdo**-Cresta dorsal de la valva del pene, **Dv**-Diente valvar y **Gc**-Gonocoxito.

Fig. 7. A-B: Detail of gonostylus in apical view, A, *A. wallacei*, B, *A. auriventris*. C y D: Genital capsule of male in lateral view, C, *A. diversipennis*, D, *A. wallacei*. B-D: Scale 200 μ m. **Bg**-Gonostylar arm, **Se**-Setae, **Cdo**-Dorsal apical crest of penis valve, **Dv**-Valvar tooth and **Gc**-Gonocoxite.

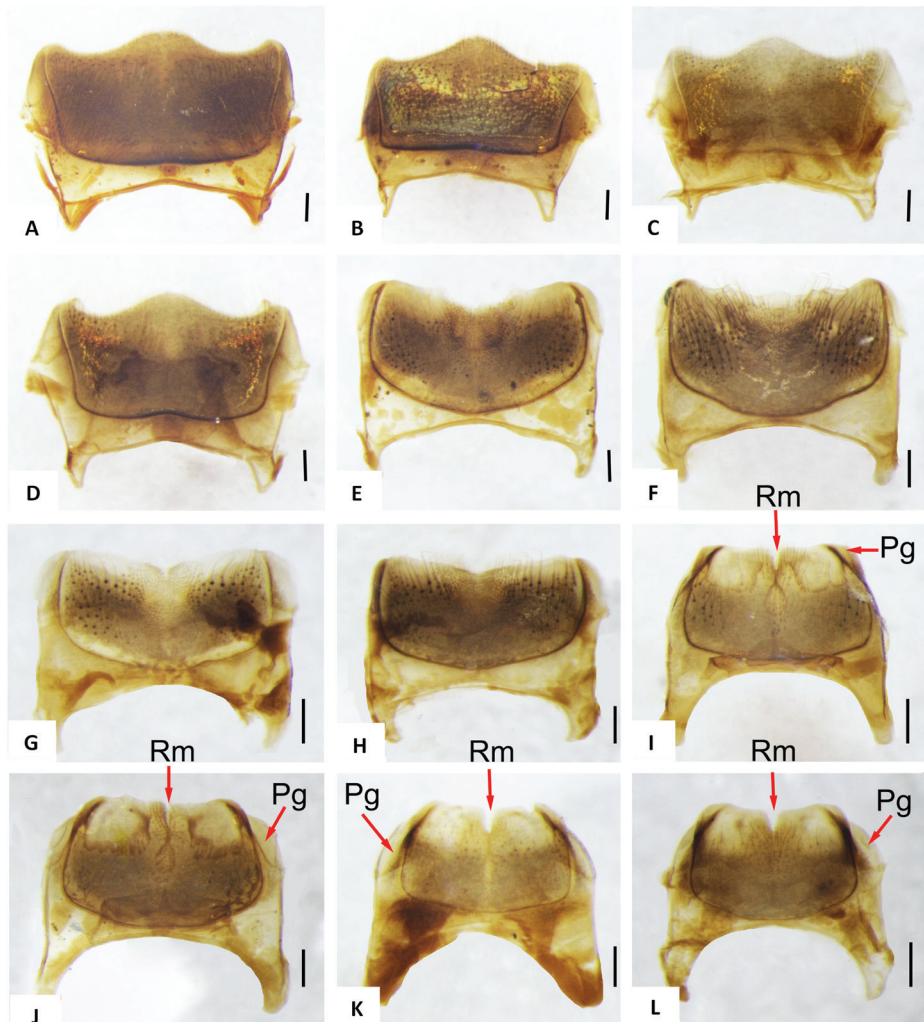


Fig. 8. A-D: SIII del macho, A, *A. diversipennis*; B, *Augochloropsis* sp., C, *A. callichroa*, D, *A. anquisita*. E-H: SV del macho, E, *A. diversipennis*, F, *Augochloropsis* sp., G, *A. callichroa*, H, *A. anquisita*. I-L: SVI del macho, I, *Augochloropsis* sp., J, *A. diversipennis*, K, *A. callichroa*, L, *A. anquisita*. A-L: Escala 300 μ m. Pg-Placa post-gradular y Rm-Recorte medio del SVI.

Fig. 8. A-D: SIII of male, A, *A. diversipennis*; B, *Augochloropsis* sp., C, *A. callichroa*, D, *A. anquisita*. E-H: SV of male, E, *A. diversipennis*, F, *Augochloropsis* sp., G, *A. callichroa*, H, *A. anquisita*. I-L: SVI of male, I, *Augochloropsis* sp., J, *A. diversipennis*, K, *A. callichroa*, L, *A. anquisita*. A-L: Scale 300 μ m. Pg-Post-gradular plate and Rm-medial notch of SVI.

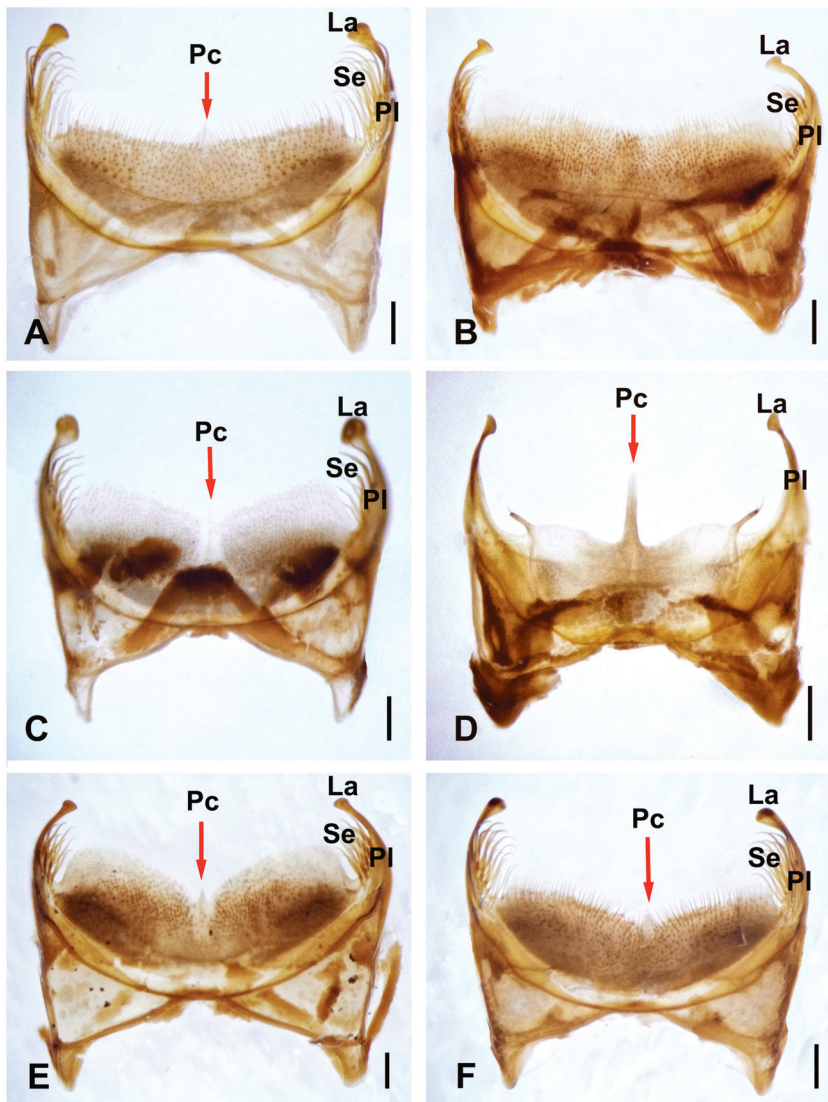


Fig. 9. SIV del macho, A, *A. ignita*, B, *A. wallacei*, C, *A. anquisita*, D, *A. auriventris*, E, *A. diversipennis*, F, *Augochloropsis* sp. A-F: Escala 300 μ m. **Pc**-Proyección central, **Se**-Setas, **Pl**-Proyección lateral y **La**-Lóbulo apical.

Fig. 9. SIV of male, A, *A. ignita*, B, *A. wallacei*, C, *A. anquisita*, D, *A. auriventris*, E, *A. diversipennis*, F, *Augochloropsis* sp. A-F: Scale 300 μ m. **Pc**-Central projection, **Se**-Setae, **Pl**-Lateral projection and **La**-Apical lobe.

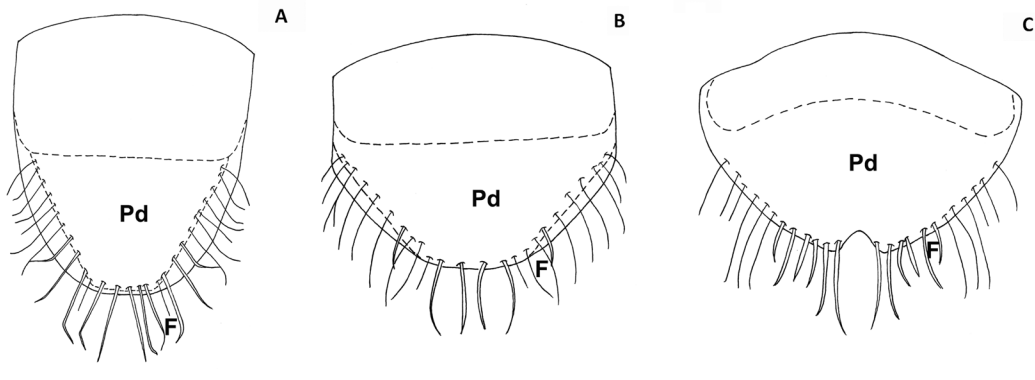


Fig. 10. Labro del macho, A, *A. auriventris*, B, *Augochloropsis* sp., C, *Augochloropsis* sp. A-C: Escala 0.3 mm. **Pd**-Proceso distal del labro y **F**-Fimbria labral.

Fig. 10. Labrum of male, A, *A. auriventris*, B, *Augochloropsis* sp., C, *Augochloropsis* sp. A-C: Scale 0.3 mm. **Pd**-Distal process of labrum and **F**-Labral fimbria.

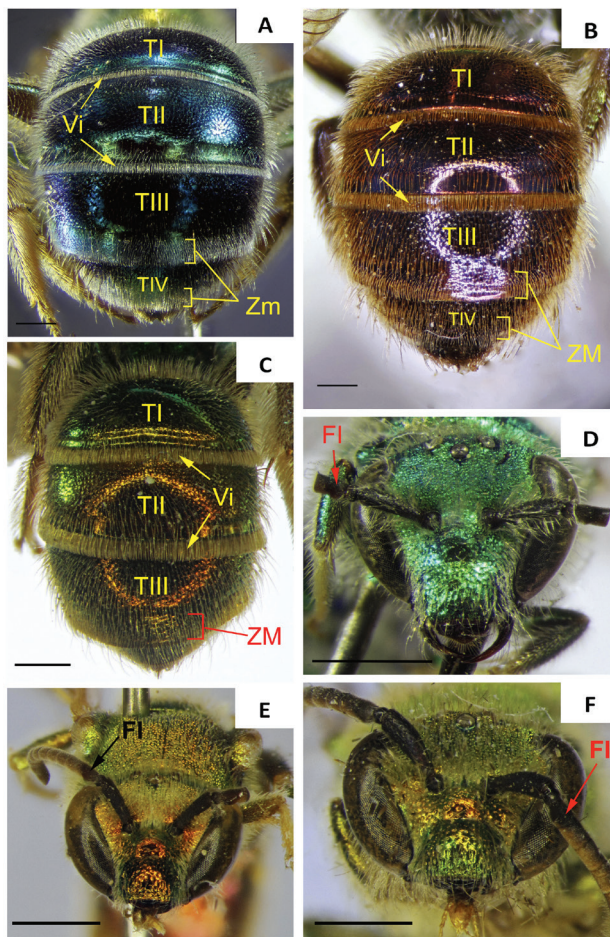


Fig. 11. A-C: Metasoma en vista dorsal, A, *A. iris*, B, *A. aurifluens*, C, *A. cupreola*. D-F: Cabeza macho en vista frontal, D, *A. cupreola*, E, *A. aurifluens*, F, *A. imperialis*. A-C: Escala 400 μ m. D-F: Escala 1 mm. **TI**-Tergo metasomal I, **TII**-Tergo metasomal II, **TIII**-Tergo metasomal III, **TIV**-Tergo metasomal IV, **Zm**- Zona marginal de TIII y TIV, **Vi**-Vibrissas y **FI**-Flagelómero I.

Fig. 11. A-C: Metasoma in dorsal view, A, *A. iris*, B, *A. aurifluens*, C, *A. cupreola*. D-F: Head of male in frontal view, D, *A. cupreola*, E, *A. aurifluens*, F, *A. imperialis*. A-C: Scale 400 μ m. D-F: Scale 1 mm. **TI**- Metasomal tergum I, **TII**- Metasomal tergum II, **TIII**-Metasomal tergum III, **TIV**- Metasomal tergum IV, **Zm**-Marginal zone TIII and TIV, **Vi**-Vibrissae and **FI**-Flagellomere I.

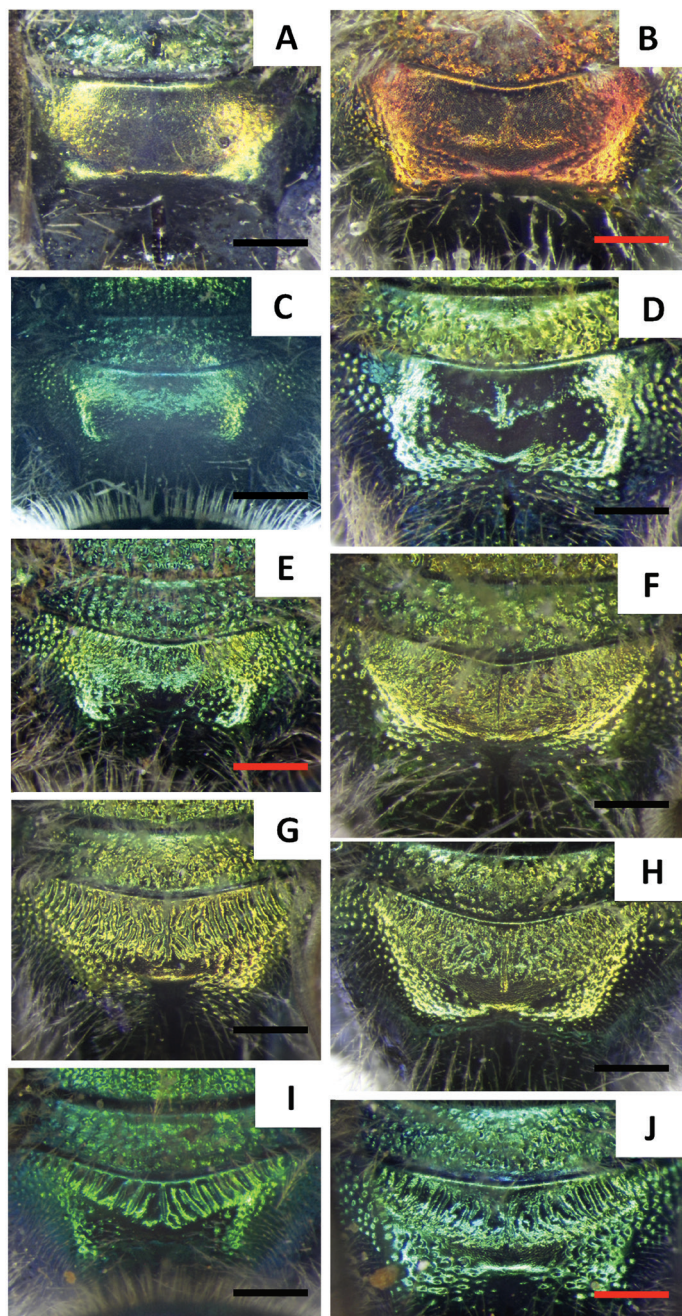


Fig. 12. Lúnula en vista dorsal, A, *A. hebescens hebescens*, B, *A. tupacamaru*, C, *A. sparsilis*, D, *Augochloropsis* sp., E, *A. cupreola*, F, *A. vesta vesta*, G, *A. argentina*, H, *A. smithiana*, I, *A. terrestris prognatha*, J, *A. multiplex*. A-J: Escala 200 μm .

Fig. 12. Lunula in dorsal view, A, *A. hebescens hebescens*, B, *A. tupacamaru*, C, *A. sparsilis*, D, *Augochloropsis* sp., E, *A. cupreola*, F, *A. vesta vesta*, G, *A. argentina*, H, *A. smithiana*, I, *A. terrestris prognatha*, J, *A. multiplex*. A-J: Scale 200 μm .



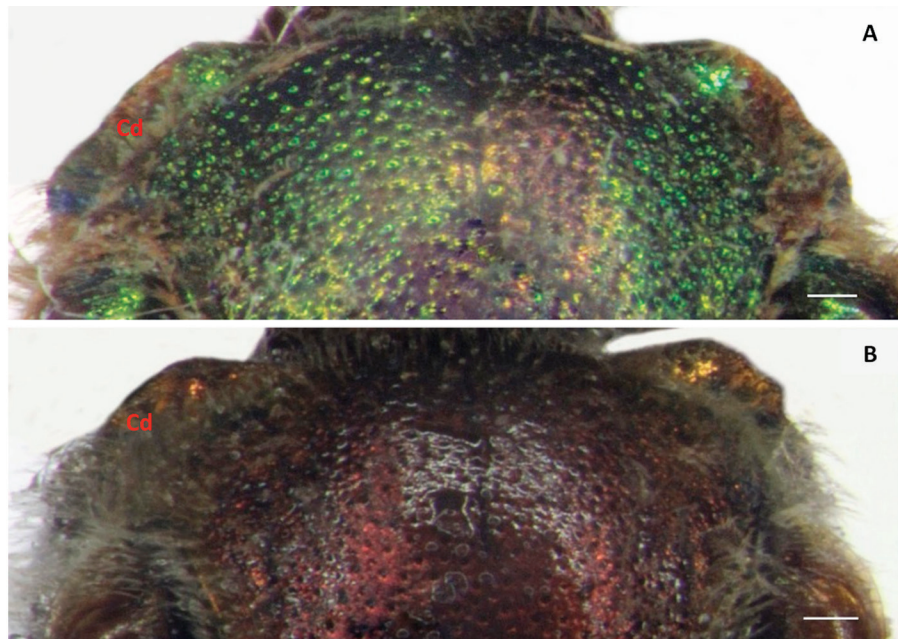


Fig. 13. Cresta dorsal del pronoto en vista dorsal, A, *A. sparsilis*, B, *A. tupacamaru*. A-B: Escala 200 μm . Cd-Cresta dorsal del pronoto.

Fig. 13. Dorsal ridge of pronotum in dorsal view, A, *A. sparsilis*, B, *A. tupacamaru*. A-B: Scale 200 μm . Cd-dorsal ridge of pronotum.

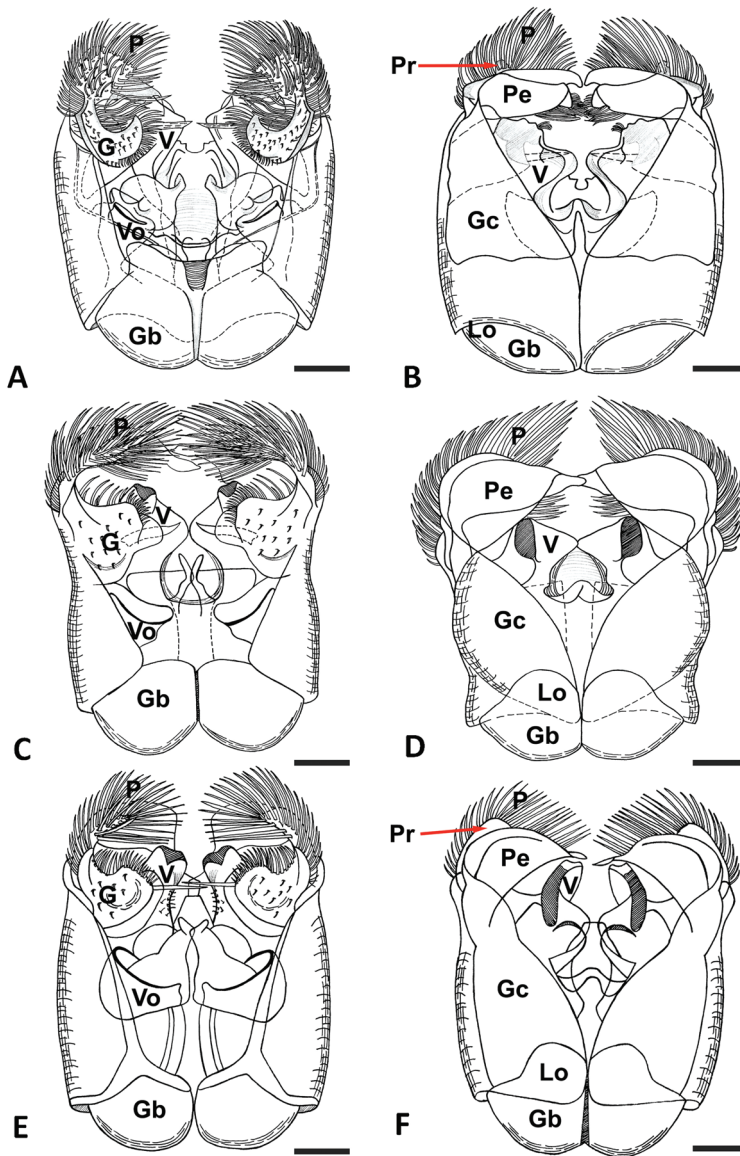


Fig. 14. Cápsula genital del macho, A-B: *A. imperialis*, A, vista ventral, B, vista dorsal; C-D: *A. cyanea*, C, vista ventral, D, vista dorsal; E-F: *A. heterochroa*, E, vista ventral, F, vista dorsal. A-F: Escala 200 μm . **G-** Gonostilo, **Vo-**Volsela, **Gc-**Gonocoxito, **V-**Valva del pene, **Gb-**Gonobase, **Pe-** Placa esclerotizada del gonostilo, **Pr-**Proyección gonostilar, **P-**Hairs y **Lo-**Lóculo.

Fig. 14. Genital capsule of males. A-B: *A. imperialis*, A, ventral view, B, dorsal view; C-D: *A. cyanea*, C, ventral view, D, dorsal view; E-F: *A. heterochroa*, E, ventral view, F, dorsal view. A-F: Scale 200 μm . **G-** Gonostylus, **Vo-**Volsella, **Gc-**Gonocoxite, **V-**penis valve, **Gb-**Gonobase, **Pe-** Sclerotic plate of gonostylus, **Pr-**Gonostylar projection, **P-**Hairs and **Lo-**Lobe.

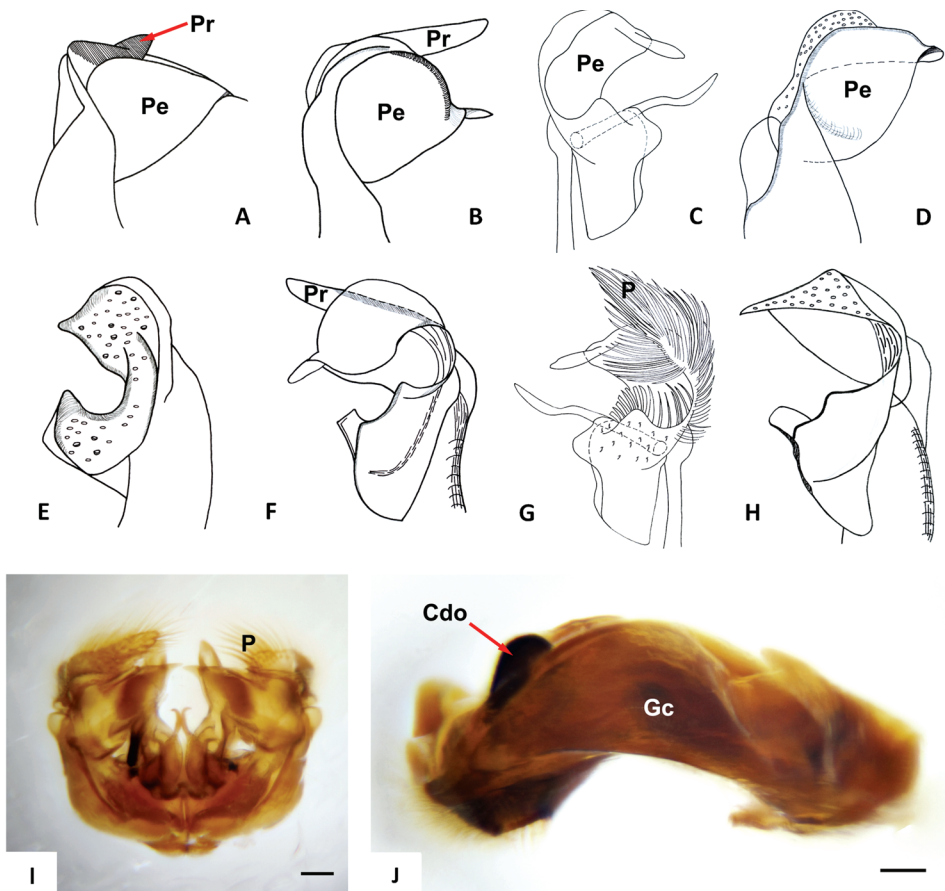


Fig. 15. A-H: Detalle gonostilo, A y E: *A. imperialis*, A, vista dorsal, E, vista ventral; B y F: *A. smithiana*, B, vista dorsal, F, vista ventral; C y G: *A. symploeres*, C, vista dorsal, G, vista ventral; D y H: *A. tupacamaru*, D, vista dorsal, H, vista ventral. I: Detalle gonostilo vista apical, *A. smithiana*. J: Cápsula genital del macho en vista lateral, *A. imperialis*. I-J: Escala 200 μm . **Pe**-Placa Esclerotizada del gonostilo, **Pr**-Proyección gonostilar, **Gc**-Gonocoxite, **P**-Pelos y **Cdo**-Cresta dorsal de la valva del pene.

Fig. 15. A-H: Detail of gonostylus, A and E: *A. imperialis*, A, dorsal view, E, ventral view; B and F: *A. smithiana*, B, dorsal view, F, ventral view; C and G: *A. symploeres*, C, dorsal view, G, ventral view; D and H: *A. tupacamaru*, D, dorsal view, H, ventral view. I: Detail of gonostylus, apical view, *A. smithiana*. J: Genital capsule of male in lateral view, *A. imperialis*. I-J: Scale 200 μm . **Pe**- Sclerotic plate of gonostylus, **Pr**-Gonostylar projection, **Gc**-Gonocoxite, **P**-Hairs and **Cdo**- Dorsal crest of penis valve.

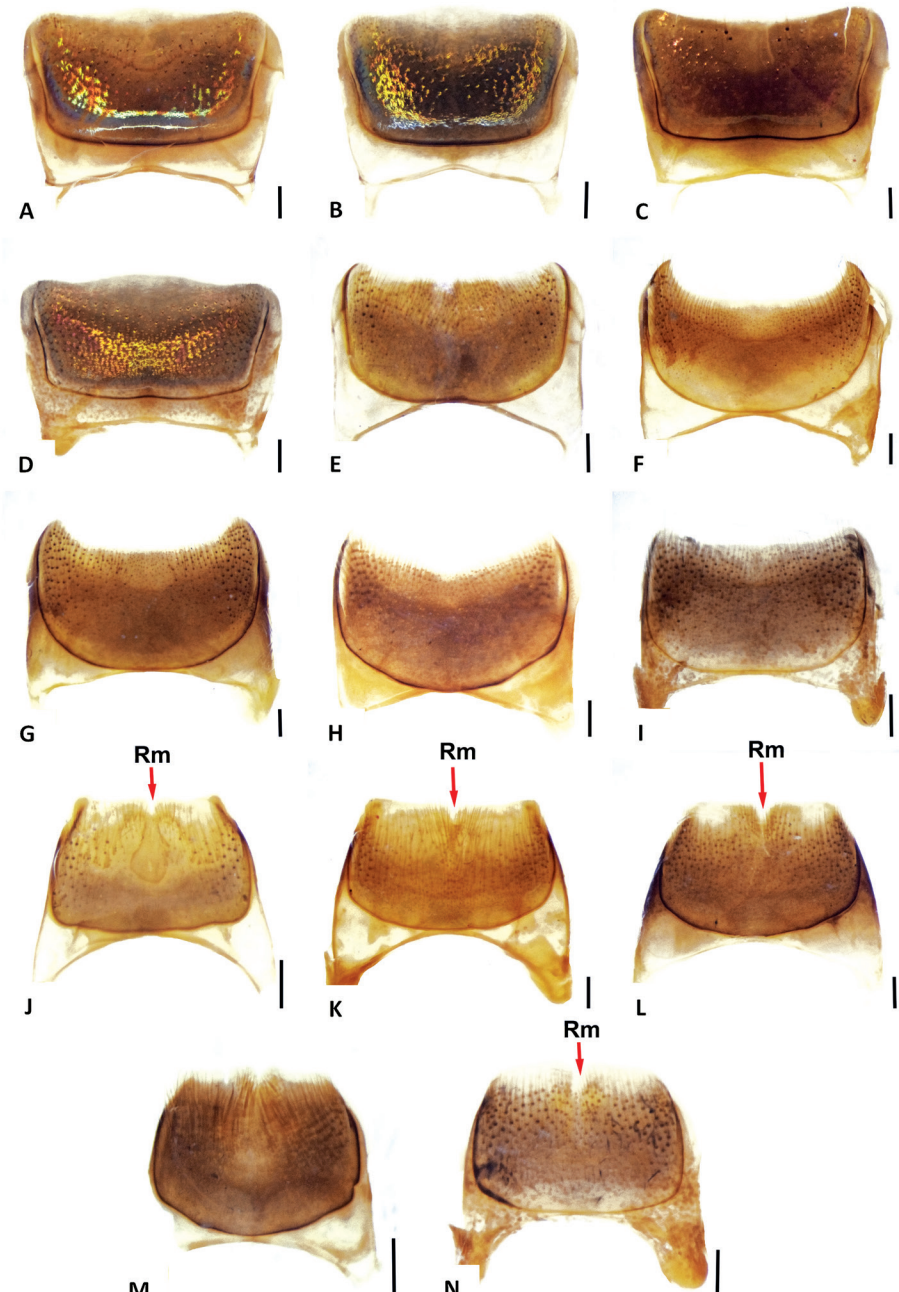


Fig. 16. A-D: SIII del macho, A, *Augochloropsis* sp., B, *Augochloropsis* sp., C, *A. multiplex*, D, *Augochloropsis* sp. E-I: SV del macho, E, *Augochloropsis* sp., F, *A. smithiana*, G, *A. iris*, H, *A. multiplex*, I, *Augochloropsis* sp. J-N: SVI del macho, J, *Augochloropsis* sp., K, *A. smithiana*, L, *A. iris*, M, *A. multiplex*, N, *Augochloropsis* sp. A-N: Escala 300 μ m. **Rm**-Recorte medio del SVI.

Fig. 16. A-D: SIII of male, A, *Augochloropsis* sp., B, *Augochloropsis* sp., C, *A. multiplex*, D, *Augochloropsis* sp. E-I: SV of male, E, *Augochloropsis* sp., F, *A. smithiana*, G, *A. iris*, H, *A. multiplex*, I, *Augochloropsis* sp. J-N: SVI of male, J, *Augochloropsis* sp., K, *A. smithiana*, L, *A. iris*, M, *A. multiplex*, N, *Augochloropsis* sp. A-N: Scale 300 μ m. **Am**-medial notch of SVI.



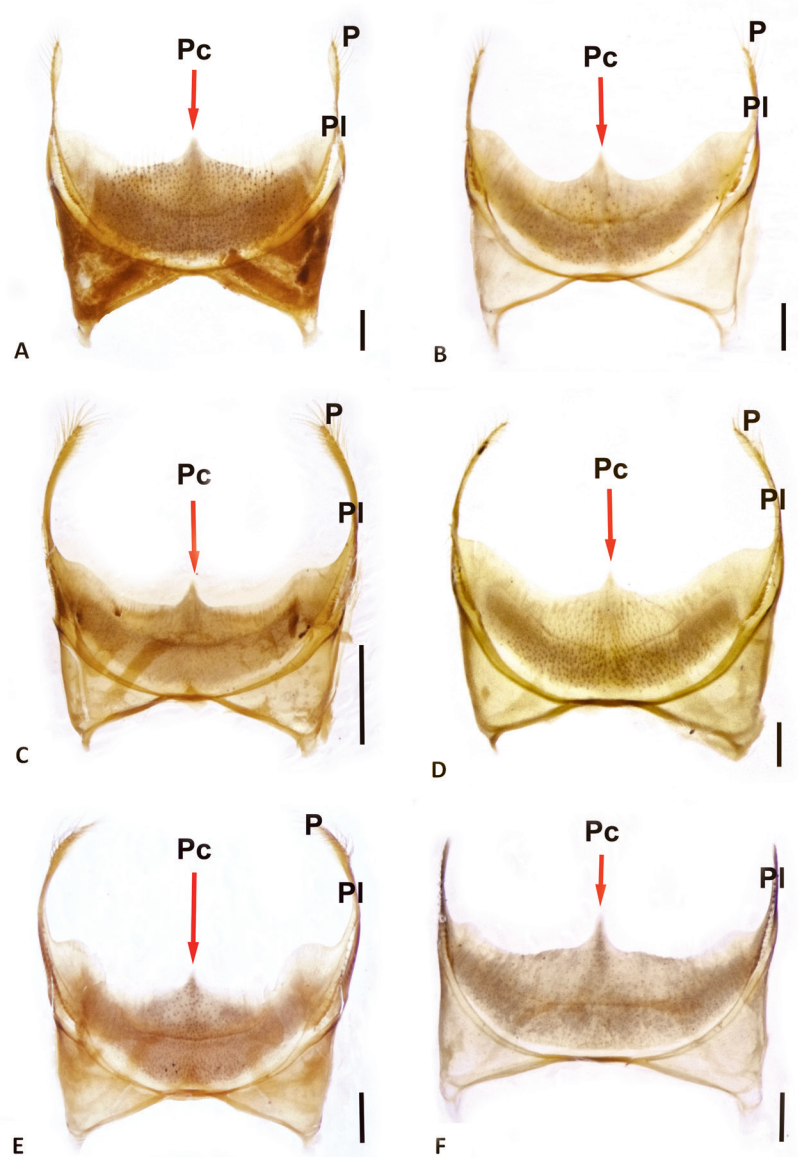


Fig. 17. SIV del macho, A, *A. aurifluens*, B, *Augochloropsis* sp., C, *A. smithiana*, D, *Augochloropsis* sp., E, *A. multiplex*, F, *Augochloropsis* sp. A-F: escala 300 μm . **Pc**-Proyección central, **PI**-Proyección lateral y **P**-Pelos.

Fig. 17. SIV of male, A, *A. aurifluens*, B, *Augochloropsis* sp., C, *A. smithiana*, D, *Augochloropsis* sp., E, *A. multiplex*, F, *Augochloropsis* sp. A-F: Scale 300 μm . **Pc**-Central projection, **PI**-Lateral projection and **P**-Hairs.

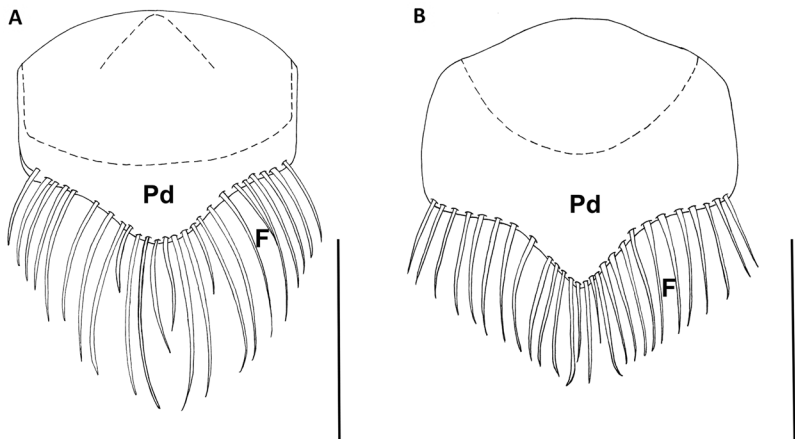


Fig. 18. Labro del macho, A, *Augochloropsis* sp., B, *A. iris*. A-B: Escala 0.3 mm. **Pd**-Proceso distal del labro y **F**-Fimbria labral.

Fig. 18. Labrum of male, A, *Augochloropsis* sp., B, *A. iris*. A-B: Scale 0.3 mm. **Pd**-Distal process of labrum and **F**-Labral fimbria.

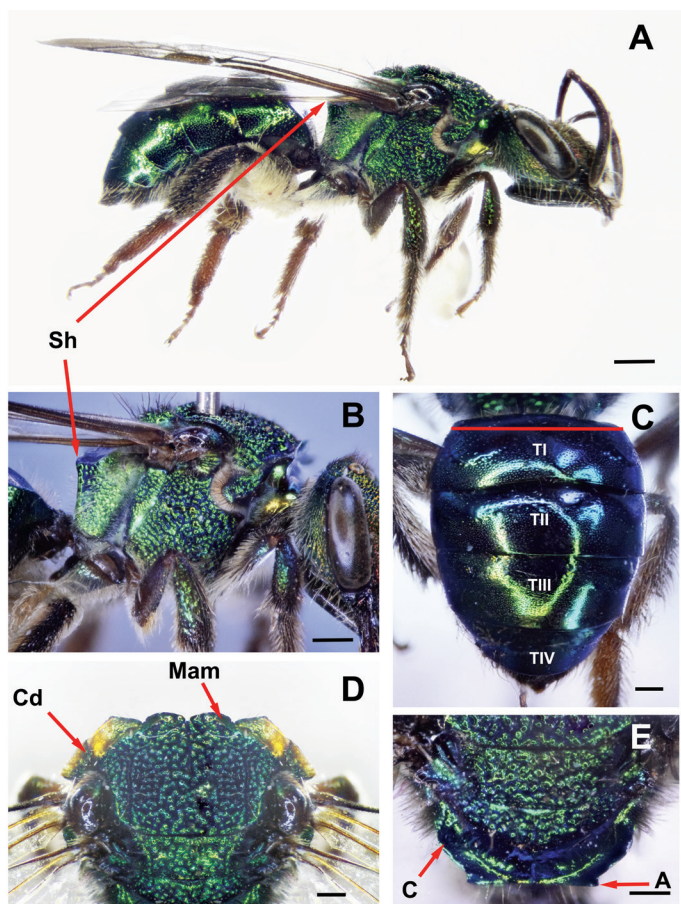


Fig. 19. *A. ornata*, A y B: hembra en vista lateral. C: Metasoma en vista dorsal. D: Mesoscudo en vista dorsal. E: Lúnula en vista dorsal. A y B: Escala 1 mm; C: Escala 400 μ m; D y E: Escala 1 mm. **Sh**-Superficie horizontal del propodeo, **TI**-Tergo metasomal I, **TII**-Tergo metasomal II, **TIII**-Tergo metasomal III, **TIV**-Tergo metasomal IV, **Cd**-Cresta dorsal del pronoto en vista dorsal, **Mam**-Margen anterior del mesoscudo, **C**-Cresta lateral del propodeo y **A**-Ángulo lateral del propódeo.

Fig. 19. *A. ornata*, A and B: female in lateral view. C: Metasoma in dorsal view. D: Mesoscutum in dorsal view. E: Lunula in dorsal view. A and B: Scale 1 mm; C: Scale 400 μ m; D and E: Scale 1 mm. **Sh**- Horizontal surface of the propodeum, **TI**- Metasomal tergum I, **TII**- Metasomal tergum II, **TIII**-Metasomal tergum III, **TIV**-Metasomal tergum IV, **Cd**-Dorsal ridge of pronotum in dorsal view, **Mam**-Anterior margin of mesoscutum, **C**- Lateral ridge of propodeum and **A**-Lateral angle of propodeum.



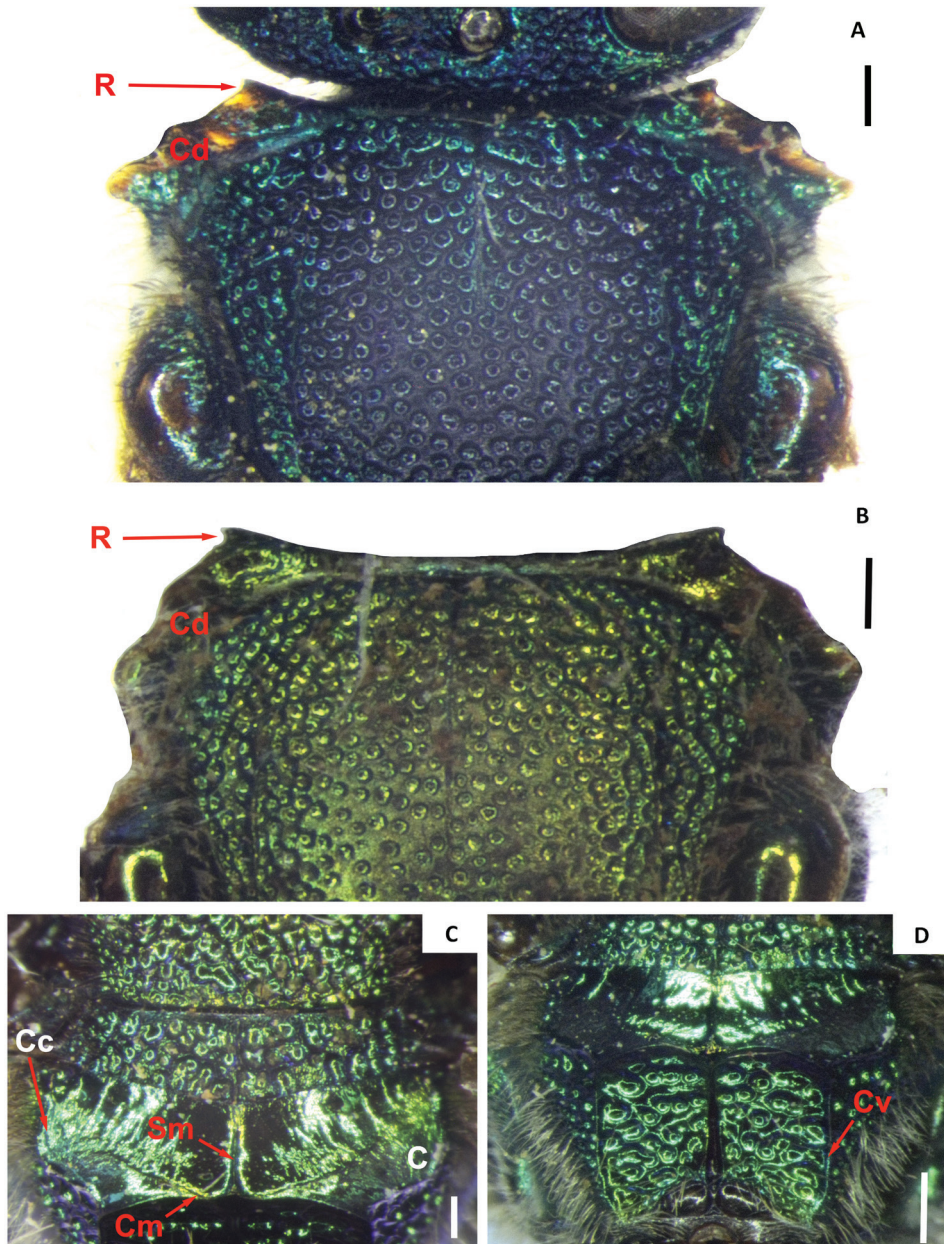


Fig. 20. A y B: Cresta dorsal del pronoto en vista dorsal, A, *A. bertonii*; B, *A. chloera*. C: Lúnula en vista dorsal, *A. ornata*. D: Superficie vertical posterior del propodeo, *A. ornata*. A-D: Escala 200 μm . R- Recorte del ángulo lateral del pronoto, Cd-Cresta dorsal del pronoto en vista dorsal, Sm-Surco medio, Cm-Carena marginal, Cc-Carena de las crestas laterales del propódeo, C-Cresta lateral del propódeo y Cv-Carena de la superficie vertical posterior del propódeo.

Figs. 20. A y B: Dorsal ridge of pronotum in dorsal view, A, *A. bertonii*; B, *A. chloera*. C: Lunula in dorsal view, *A. ornata*. D: Posterior vertical surface propodeum, *A. ornata*. A-D: Scale 200 μm . R- Clipping of lateral angle of pronotum, Cd-Dorsal ridge of pronotum in dorsal view, Sm- Middle groove, Cm-Marginal carina, Cc-Carina of lateral ridge of propodeum, C-Lateral ridge of propodeum and Cv- Carina of the posterior vertical surface of propodeum.

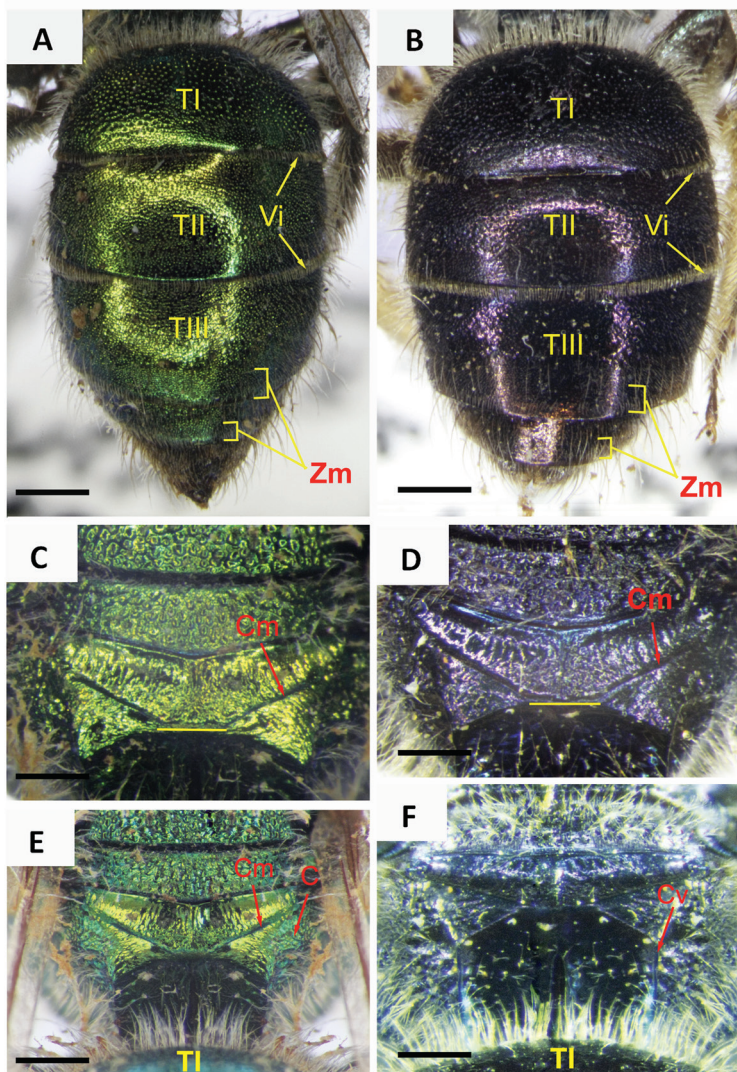


Fig. 21. A y B: Metasoma en vista dorsal, A, *A. chloera*, B, *A. bertonii*. C-E: Lúnula en vista dorsal, C y E, *A. chloera*, D, *A. bertonii*. F: Superficie vertical posterior del propodeo, *A. bertonii*. A y B: Escala 400 μm . C-F: Escala 200 μm . **TI**-Tergo metasomal I, **TII**-Tergo metasomal II, **TIII**-Tergo metasomal III, **Vi**-Vibrissas, **Zm**- Zona marginal de TIII y TIV, **Cm**-Carena marginal, **C**-Cresta lateral del propódeo y **Cv**-Carena de la superficie vertical posterior del propódeo.

Fig. 21. A y B: Metasoma in dorsal view, A, *A. chloera*, B, *A. bertonii*. C-E: Lunula in dorsal view, C y E, *A. chloera*, D, *A. bertonii*. F: Posterior vertical surface of propodeum, *A. bertonii*. A y B: Scale 400 μm . C-F: Scale 200 μm . **TI**-Metasomal tergum I, **TII**- Metasomal tergum II, **TIII**-Metasomal tergum III, **Vi**-Vibrissae, **Zm**-Marginal zone TIII and TIV, **Cm**-Marginal carina, **C**- Lateral ridge of propodeum and **Cv**- Carina of the posterior vertical surface of propodeum.

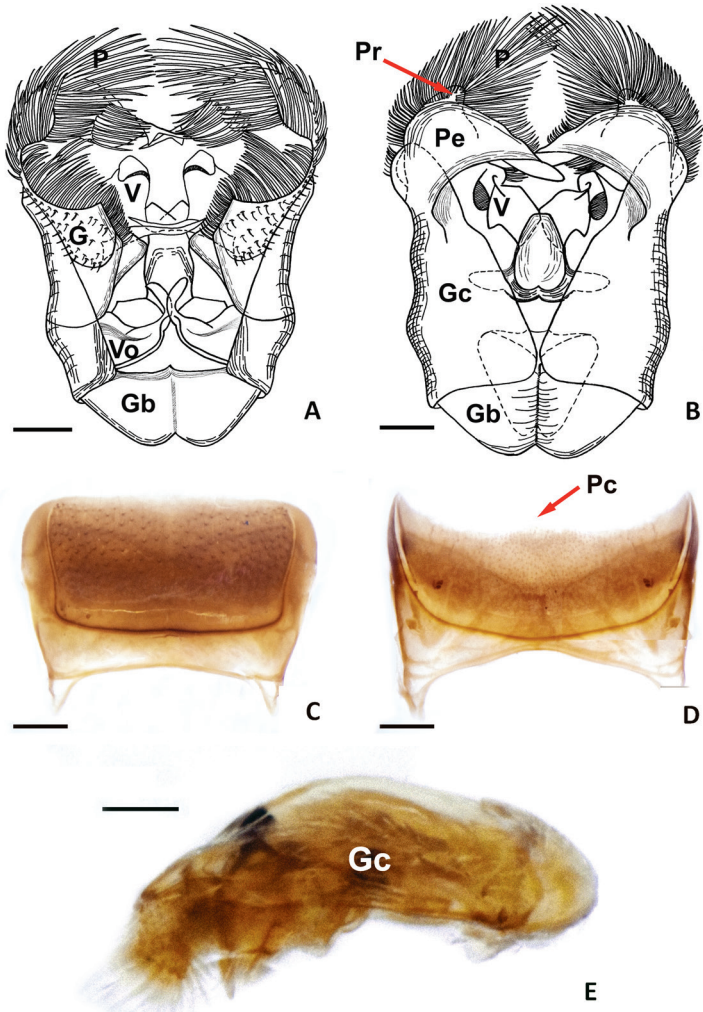


Fig. 22. A y B: Cápsula genital del macho, *A. chloera*, A, vista ventral, B, vista dorsal. C: SIII del macho, *A. chloera*. D: SIV del macho, *A. chloera*. E: Cápsula genital del macho en vista lateral, *A. chloera*. A y B: Escala 200 μm ; C y D: Escala 300 μm ; E: Escala 200 μm . G- Gonostilo, Vo-Volsella, Pm-Proyección Medial, Gc-Gonocoxito, V-Valva del pene, Gb-Gonobase, Pe-Placa esclerotizada, Pr-Proyección gonostilar, P-Pelos, Lo-Lóbulo y Pe-Proyección central.

Fig. 22. A y B: Genital capsule males, *A. chloera*, A, ventral view, B, dorsal view. C: SIII of male, *A. chloera*. D: SIV of male, *A. chloera*. E: Genital capsule male in lateral view, *A. chloera*. A y B: Scale 200 μm ; C and D: Scale 300 μm ; E: Scale 200 μm . G- Gonostylus, Vo-Volsella, Pm-Medial projection, Gc-Gonocoxite, V-penis valve, Gb-Gonobase, Pe- Sclerotic plate, Pr-Gonostilar projection, P-Hairs, Lo-Lobe and Pe-Central projection.

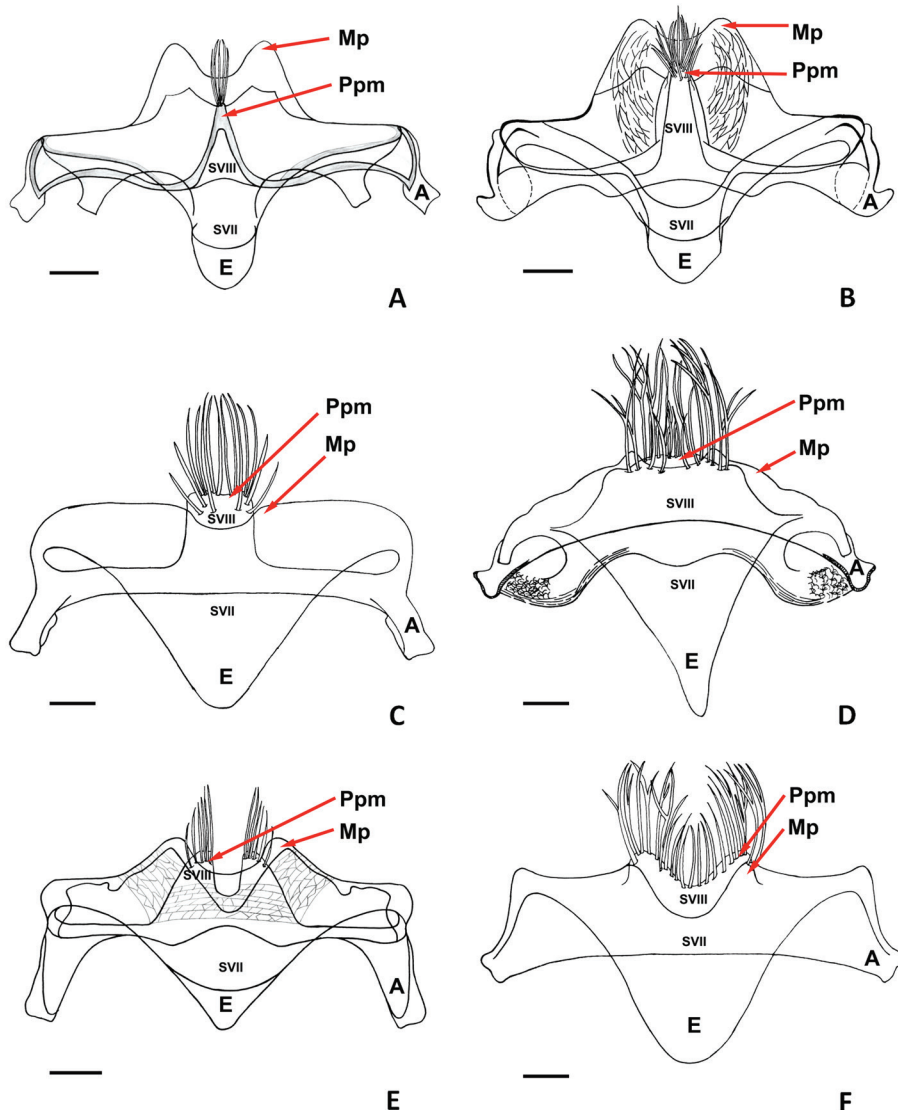


Fig. 23. SVII y SVIII del macho fusionados, A, *A. ignita*, B, *A. wallacei*, C, *A. cyanea*, D, *A. imperialis*, E, *A. smithiana*, F, *Augochloropsis* sp. A-F: Escala 200 μm . **SVII**-Esterno VII, **SVIII**-Esterno VIII, **Ppm**-Proyección Posterior Media del SVII, **A**-Apodema esternal, **Mp**- Margen Posterior del SVIII y **E**-Espículo.

Fig. 23. Fused metasomal SVII and SVIII, A, *A. ignita*, B, *A. wallacei*, C, *A. cyanea*, D, *A. imperialis*, E, *A. smithiana*, F, *Augochloropsis* sp. A-F: Scale 200 μm . **SVII**-Sternum VII, **SVIII**-Sternum VIII, **Ppm**-Median posterior projection of SVII, **A**-Sternal apodeme, **Mp**- Posterior margin of SVIII and **E**-Spiculum.

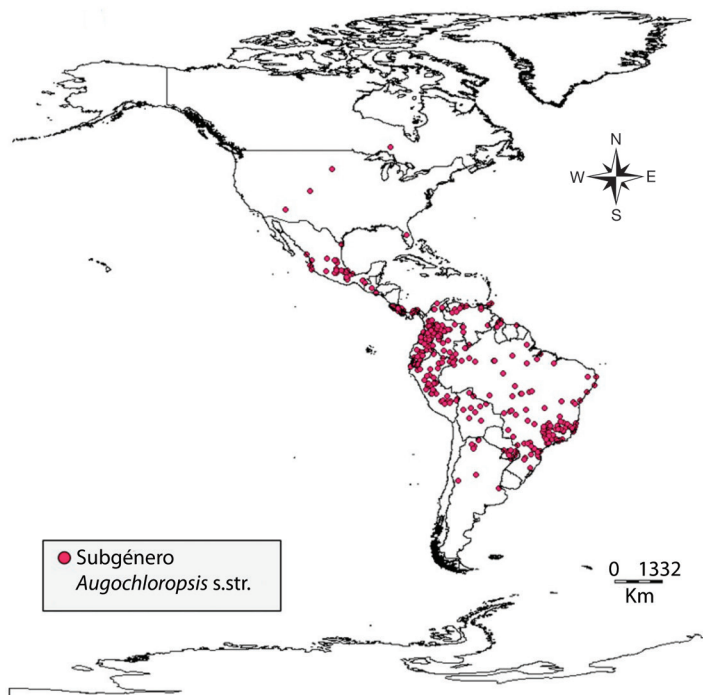


Fig. 24. Mapa de distribución del subgénero *Augochloropsis* s. str.
Fig. 24. Distribution map of subgenus *Augochloropsis* s. str.

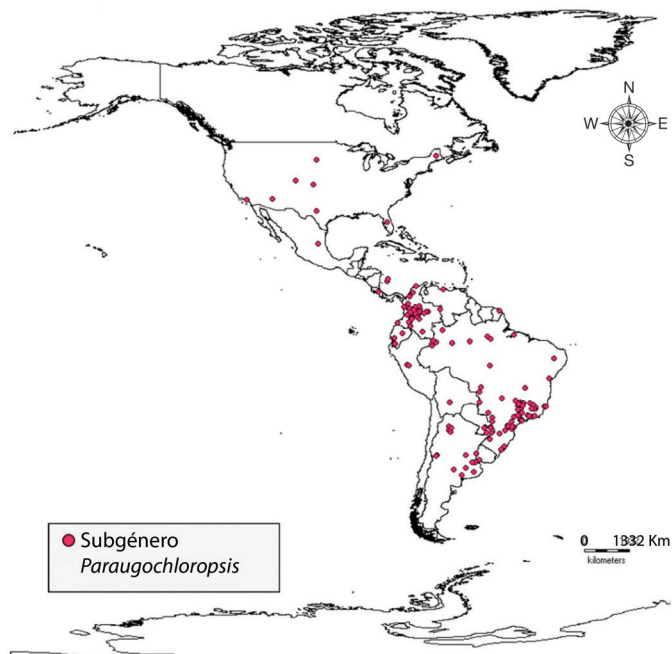


Fig. 25. Mapa de distribución del subgénero *Paraugochloropsis*.
Fig. 25. Distribution map of subgenus *Paraugochloropsis*.

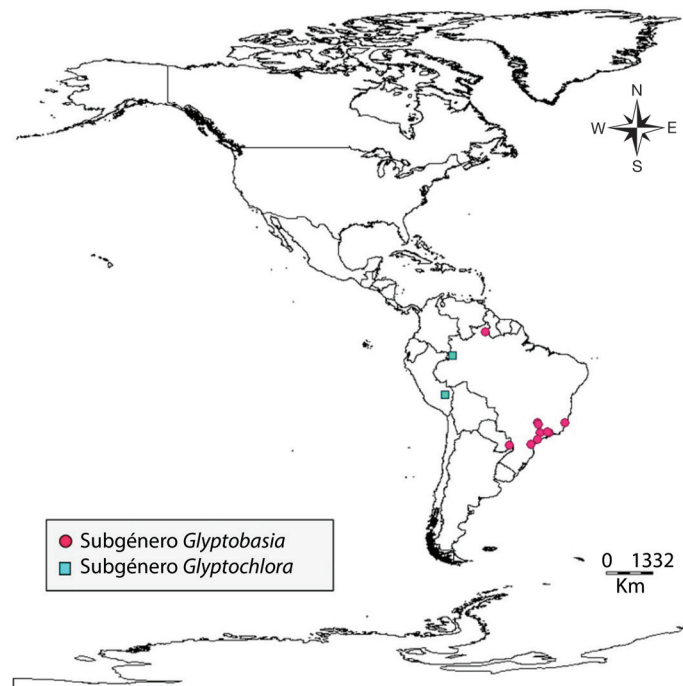


Fig. 26. Mapa de distribución de los subgéneros *Glyptochlora* y *Glyptobasia*.

Fig. 26. Distribution map of subgenera *Glyptochlora* and *Glyptobasia*.

